

# ПРОЦЕСОРИ КАДРУ ДЛЯ ПІРОВІДИКОННОЇ СИСТЕМИ ТЕПЛОВОГО МОНІТОРИНГУ

**П.О. Кондратов, М.О. Бродський,  
В.Ф. Ткаченко**

Національний університет  
«Львівська політехніка».  
г. Львів, вул. Ст. Бандери, 12  
*E-mail:* ndki@polynet.lviv.ua

*Розроблені вдосконалені схеми процесорів кадру, що формують сигнал п'єдесталу та реалізують рекурсивну дворівневу та двокадрову обробку піросигналу. Це дозволяє покращати відношення сигнал/шум корисного сигналу в режимі накопичення і коректувати просторову неоднорідність чутливості мішені піровідикону.*

**Вступ.** Недоліками відомих з літератури пристріїв процесорів обробки кадру піровідиконної системи [1 – 6] є іх складність, а також те, що корисний вихідний сигнал із скомпенсованим п'єдесталом формується на виході пристроя лише в тих полях розгортки, які відповідають відкритому стану обтюратора, тобто у кожному другому полі розгортки. В полях розгортки, які відповідають закритому стану обтюратора, повторюється збережений в блоках пам'яті оброблений корисний сигнал, сформований в полі розгортки при відкритому стані обтюратора. Таким чином, вдвічі знижується еквівалентна частота кадрів, що призводить до

погіршення відношення сигнал/шум при застосуванні накопичення зображень та до погіршення якості формування динамічних теплових зображень. Поставлено завдання – одержати в кожному кадрі розгортки корисний сигнал подвійної амплітуди із скомпенсованим сигналом п'єдесталу, що дозволить, порівняно із відомими пристроями процесорів кадру, вдвічі збільшити частоту інформативних кадрів розгортки, покращати відношення сигнал/шум корисного сигналу в режимі накопичення та досягнути кращого використання динамічного діапазону АЦП при подальшому оцифруванні обробленого сигналу піровідикону.

**Процесори кадру.** Робота розробленого авторами процесора кадру піровідиконної системи теплового моніторингу пояснюється структурною схемою пристрою формування сигналу тепловізійного зображення процесора кадру наведеною на рис. 1. Часові діаграми роботи пристрою наведено на рис. 2. Блок синхронізації 6 процесора кадру формує: синхросигнал, який подається на синхровхід АЦП 1 для забезпечення необхідної частоти дискретизації відеосигналу; кадрові та рядкові імпульси гасіння, необхідні для синхронізації розгорток та обтюратора тепловізійної піровідиконної камери; сигнали читання/запису та вибору адреси, які подаються на керуючі входи блоку 2 пам'яті кадру (ПК).

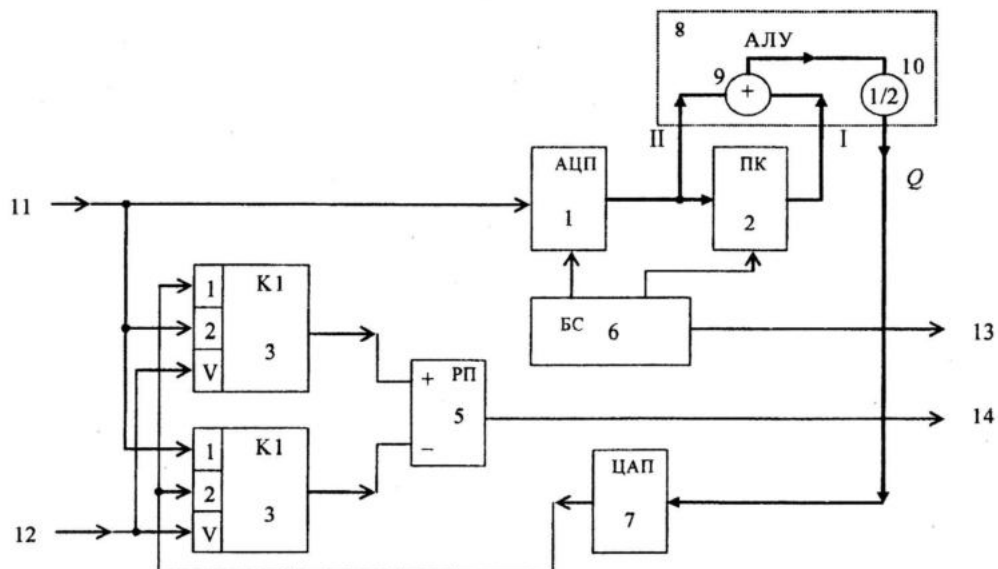


Рис. 1. Процесор кадру із формуванням сигналу п'єдесталу

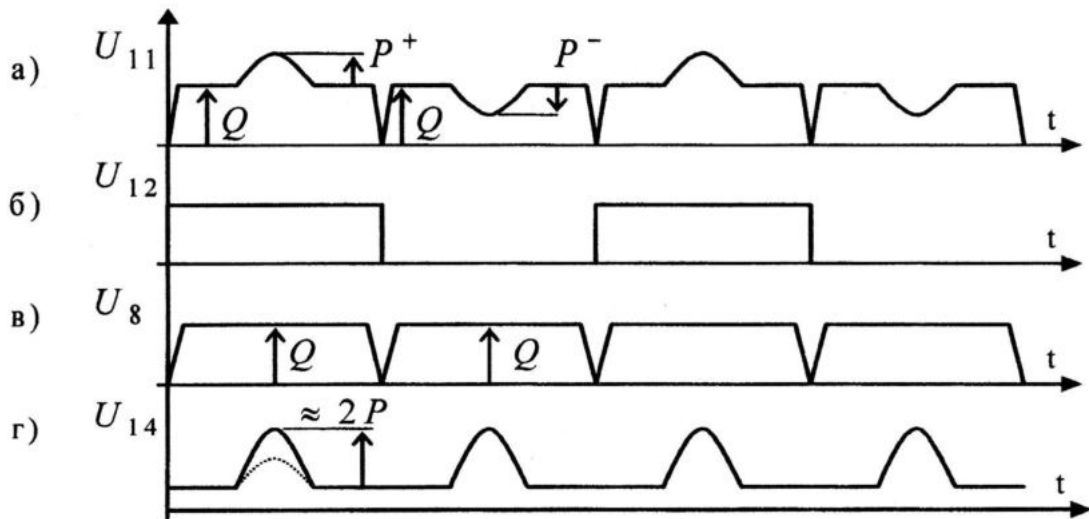


Рис. 2. Часові діаграми роботи процесора кадру

На інформаційний вхід пристрою 11 подається сигнал генерований іровідиконом камери (рис. 2, а), а на керуючий вхід 12 – цифровий сигнал стану обтюратора (0 – закритий, 1 – відкритий, рис. 2, б). При закритому обтюраторі вхідний інформаційний сигнал  $U_{11}^-$  складається із п'єдесталу  $Q$  та корисного сигналу  $P^-$ , тобто  $U_{11}^- = Q - P^-$ . При відкритому обтюраторі вхідний інформаційний сигнал  $U_{11}^+$  складається із сигналу п'єдесталу  $Q$  та корисного сигналу іровідикону  $P^+$ , тобто  $U_{11}^+ = Q + P^+$ , причому  $P^+ \approx P^-$ . Вхідний інформаційний сигнал перетворюється в цифрову форму АЦП 1 та подається на другий вхід блоку формування сигналу п'єдесталу 8, який одночасно є входом суматора 9, а також запам'ятовується в блоці пам'яті 2, з якого безпосередньо перед цим читається сигнал, збережений в попередньому полі розгортки, який подається на перший вхід блоку 8 та суматора 9. Сигнал на виході суматора 9 можна наблизено записати як

$$U_\Sigma = U_{11}^- + U_{11}^+ = Q - P^- + Q + P^+ \approx 2Q.$$

Дільник 10 формує на виході блоку 8 сигнал п'єдесталу  $Q$  (рис. 2, в) в цифровому представленні. Після перетворення в аналогову форму ЦАП 7, цей сигнал подається на перший вхід першого 3 та

другий вхід другого 4 комутаторів. Інші входи комутаторів 3 і 4 з'єднані із інформаційним входом 11, на якому почергово діють, в залежності від стану обтюратора, сигнали  $U_{11}^-$  та  $U_{11}^+$ . Комутатори 3 та 4, що керуються сигналом стану обтюратора із входу 12, забезпечують потрібне під'єднання прямого та інверсного вхідів різницевого підсилювача 5, при якому на прямому вхіді буде діяти вхідний інформаційний сигнал  $U_{11}^+$ , а на інверсному –  $U_{11}^-$ . Таким чином, на виході різницевого підсилювача 5 та інформаційному виході пристрою 14 у кожному кадрі розгортки формується однополярний аналоговий сигнал теплового зображення подвійної амплітуди (рис. 2, г), рівень якого може бути легко узгоджений із динамічним діапазоном АЦП при подальшому перетворенні в цифрову форму.

Інший суттєвий недолік багатьох пристріїв обробки полягає у відсутності корекції просторової неоднорідності чутливості. Для забезпечення такої корекції необхідна інформація про чистий рівень п'єдесталу. Крім цього, використання мультиплексування АЦП, як у попередній схемі (рис. 1) небажане через втрату сигналу від кадрів, що використовуються для циклів регенерації пам'яті.

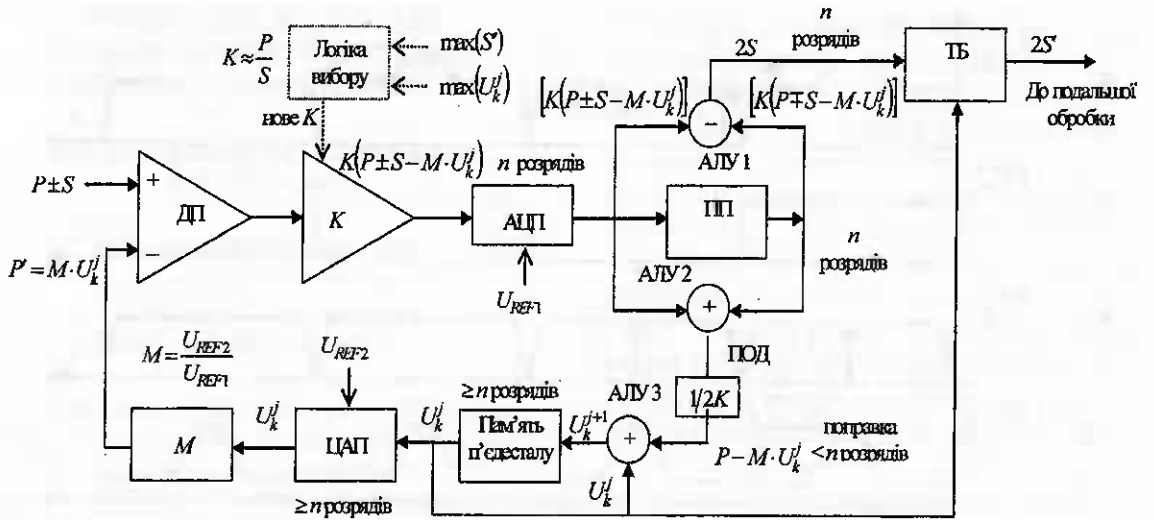


Рис. 3. Структура процесора кадру сумарно-різницевої обробки із корекцією змін просторової чутливості мішені

Нами розроблено відеопроцесор [7], який використовує дворівневу ДОС обробку і дозволяє коректувати просторову неоднорідність чутливості. Особливостями такого вузла є використання лише одного малорозрядного АЦП і рекурсивної фільтрації для виділення компоненти, спричиненої п'єдесталом.

Структура пристроя показана на рис. 3. Пристрій працює наступним чином. Диференційний підсилювач ДП виконує ДОС першого рівня, під час якого від входного сигналу віднімається деяке наближення  $P'$  компоненти п'єдесталу. Після підсилення в  $K$  разів, яке використовується для того, щоб забезпечити оптимальний динамічний діапазон АЦП і таким чином поліпшити відношення сигнал/шум, різницевий сигнал віднімається віднімачем АЛУ1 від затриманого на час одного поля різницевого сигналу. Це ДОС 2-го рівня, яка усуває залишкову помилку віднімання наближення до п'єдесталу і робить вихідний сигнал уніполярним.

В цей же час прямий та затриманий різницеві сигнали також використовуються для обчислення помилки поточного наближення до п'єдесталу (розроблений нами спрощений варіант такої сумарно-різницевої обробки захищено патентом [8]). Ці обчислення виконуються суматором АЛУ1 і подільником ПОД. Значення поправки додається суматором

АЛУ2 до поточного наближення до п'єдесталу, зчитаного з пам'яті п'єдесталу; далі нове скореговане значення наближення до п'єдесталу знову зберігається в пам'яті п'єдесталу. Зміст пам'яті п'єдесталу також використовується для корекції неоднорідності чутливості.

Це забезпечується таблицею перегляду, яка коректує корисний сигнал у відповідності із розподілом п'єдесталу. Корекція змісту пам'яті п'єдесталу здійснюється лише в кадрах розгортки, в яких в даний момент зчитується позитивний сигнал (обтюратор відкритий), щоб забезпечити кращу переходну характеристику рекурсивного фільтра та повне усунення залишкових помилок ДОС обробкою 2-го рівня. Таким чином, подібно на те, що оброблений сигнал найбільш доцільно використовувати в цьому ж кадрі розгортки (обтюратор відкритий). Однак, оскільки п'єдестал змінюється повільно та незначно від кадру до кадру, вихідний сигнал може нормально використовуватися у кожному кадрі розгортки, що спричинить лише спорадичні помилки. Для забезпечення максимального відношення сигнал/шум в запропонованому пристрої обробки також можуть бути застосовані додаткові логічні схеми, які змінюють рівень підсилення  $K$  (також синхронно  $K$  в ПОД вузлі) відповідно до поточних рівнів корисного сигналу та п'єдесталу мішені.

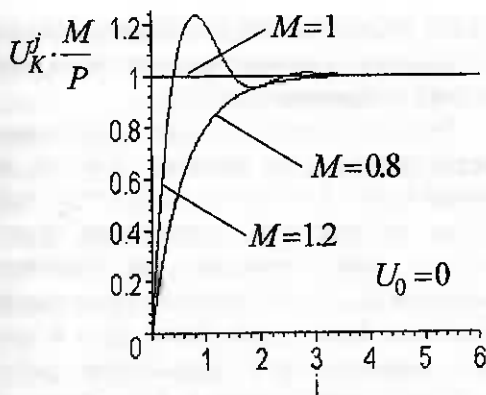


Рис. 4. Переходна характеристика рекурсивного фільтра

Оскільки пропонована структура пристрою використовує зворотний зв'язок, нами досліджено стійкість рекурсивного фільтра. Аналізуючи рис.3, можна отримати таке рекурсивне рівняння переходної характеристики фільтра:

$$U_K^{j+1} = U_K^j + P - M \cdot U_K^j \dots \quad (1)$$

де  $j$  – порядковий номер коректуючого циклу;  $P$  – поточний рівень п'едесталу;  $M$  – коефіцієнт, що відображає відмінність взірцевих напруг ЦАП і АЦП. Це рівняння має такий розв'язок:

$$U_K^{j+1} = (1-M)^j \cdot \left( U_0 - \frac{P}{M} \right) + \frac{P}{M} \dots \quad (2)$$

де  $U_0$  – початковий вміст пам'яті п'едесталу.

Переходна характеристика, розрахована відповідно до рівняння (2), зображена на рис. 4. Як можна бачити з (2), фільтр стабільний, доки  $0 < M < 2$ . Коли ця умова виконується, вміст пам'яті п'едесталу наближається до  $P/M$  при граничній умові  $j \rightarrow \infty$ , так що після перетворення у аналогову форму ми отримаємо наближення до п'едесталу  $P \approx P$ . Менший час переходних процесів забезпечується для  $M \approx 1$ .

Таким чином, остання запропонована структура дозволяє усунути недоліки класичного пристроя ДОС обробки.

**Висновки.** Розроблено процесор, який використовує дворівневу ДОС обробку і дозволяє коректувати просторову неоднорідність чутливості мішені піровідікону. Особливостями такого вузла є використання лише одного малорозряд-

ного АЦП і рекурсивної фільтрації для виділення компоненти, спричиненої п'едесталом.

## СПИСОК ЛІТЕРАТУРИ

1. Garn L.E., Petito F.C. Thermal imaging with pyroelectric vidicons // IEEE Trans. El. Dev. – 1977. – Vol. ED-24. – № 10. – P. 1221 – 1228.
2. Helmick C., Woodworth W. Improved performance from pyroelectric vidicon by image-difference processing // Ferroelectrics, 1976. – № 10. – P. 390 – 393.
3. Боженко І.Б., Грицьків З.Д., Зеляновський Ю.Є. та ін. Тепловізійна камера на основі піровідікона з процесором кадра / ДУ «ЛП». – Львів, 1995. – 14 с. – Деп. в ДНТБ України. 5.12.95 № 2620-Ук95.
4. Боженко І.Б., Зеляновский Ю.Е., Кондратов П.А., Мешков О.К. Портативный тепловизионный комплекс / Проблемы и перспективы развития современной телевизионной техники. Тезисы докладов. – М.: Радио и связь, 1995. – С. 53.
5. Кондратов П.О. Модифіковані структури процесорів двокадрової обробки сигналу піровідіконної камери / Кондратов П.О., Шклярський В.І. // Вісник НУ «Львівська політехніка», Радіоелектроніка та телекомунікації, № 705. – Львов: НУ «ЛП». – С. 22 – 27.
6. Бродський М. Оптимізація формування результатуючого піросигналу в системі теплового моніторингу / М. Бродський, П. Кондратов, В. Ткаченко // 36. «Геоінформаційний моніторинг навколошнього середовища: GPS і GIS –технології». – Львів: НУ «ЛП», 2011. – С. 250 – 252.
7. Боженко В.І. Удосконалення методів формування зображення тепловізійною системою / Боженко В.І., Кондратов П.О., Шклярський В.І. // Сб. «Интегрированные информационные радиоэлектронные системы и технологии», т. 1, ч. 2, ХНУРЭ, Харьков. – 2011. – С. 245 – 248.
8. Патент України на корисну модель № 63335 від 10.10.2011 р. Кондратов П.О. «Пристрій обробки сигналу піровідікона», Бюл. 19, 2011р.